
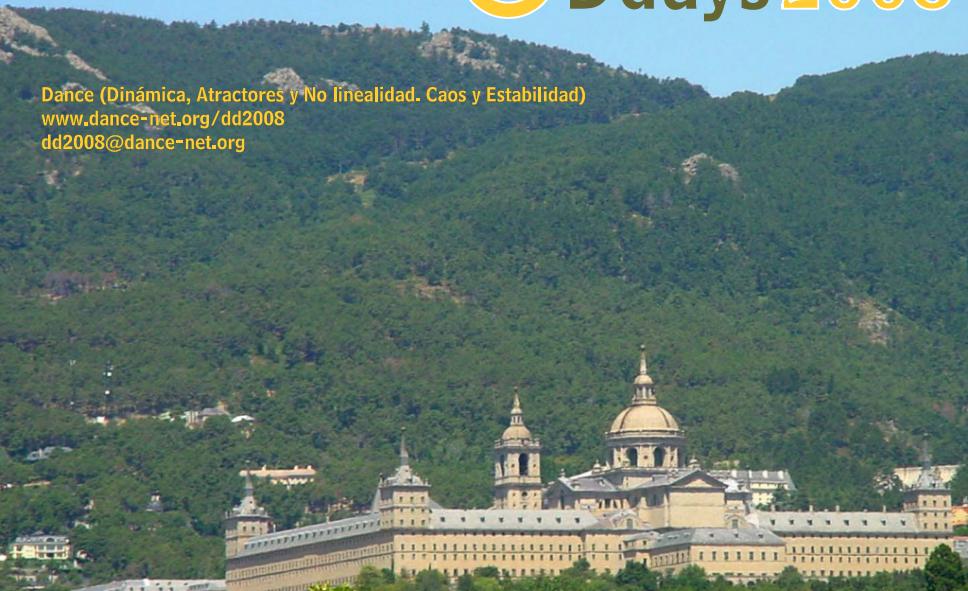


22, 23 y 24 de Octubre de 2008. El Escorial (Madrid)

Cuarta reunión de la red temática Dance

 Ddays 2008

Dance (Dinámica, Atractores y No linealidad. Caos y Estabilidad)  
[www.dance-net.org/dd2008](http://www.dance-net.org/dd2008)  
[dd2008@dance-net.org](mailto:dd2008@dance-net.org)



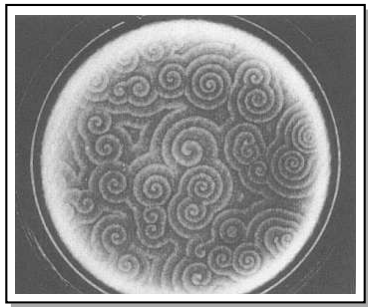
# Espirales en ecuaciones de Ginzburg-Landau complejas

M. Aguares (Universitat Politècnica de Catalunya)  
S. J. Chapman (University of Oxford)

Ddays, El Escorial, 23/10/2008

# Ondas espirales en sistemas físicos

**Sistema excitable:** Colonia de *Dictyostelium discoideum*



**Sistema oscilatorio:** Reacción de Belousov-Zhabotinsky



# La ecuación de Ginzburg-Landau compleja

## Ecuación de Ginzburg-Landau compleja

$$\frac{\partial \Psi}{\partial t} = \Psi - (1 + ia)|\Psi|^2\Psi + (1 + ib)\Delta\Psi$$

donde  $a, b \in \mathbb{R}$ , y  $\Psi : \mathbb{R}^2 \times \mathbb{R} \rightarrow \mathbb{C}$ .

- Es una ecuación de amplitud para sistemas físicos oscilatorios.
- Cuando  $a = b = 0 \Rightarrow$  ecuación de Ginzburg-Landau - superconductividad.
- Cuando  $a = b \rightarrow \infty \Rightarrow$  ecuación de Schrödinger no lineal - superfluidez.

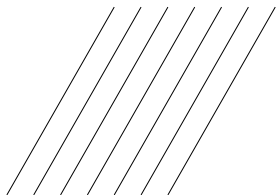
# La ecuación de Ginzburg-Landau compleja

Algunas propiedades de la ecuación:

- Algunas soluciones: ondas planas y **ondas espirales**.
- Las soluciones son **invariantes por translación** ( $\Psi(x + x_0, t)$  también es solución).
- Las soluciones son **invariantes por rotación** ( $\Psi e^{i\varphi_0}$ , es solución  $\forall \varphi_0 \in \mathbb{R}$ ).

# Ondas planas, ondas espirales y vórtices

Curvas de nivel de la parte real o imaginaria de  $\Psi$  de soluciones periódicas:

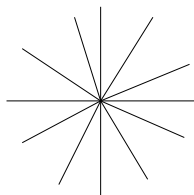


## Ondas planas

$$\Psi(\mathbf{x}, t) = R e^{i(\mathbf{x} \cdot \mathbf{k} - \omega t)}$$

$$R^2 = 1 - |\mathbf{k}|^2$$

$$|\mathbf{k}|^2 = \frac{a - \omega}{a - b}$$

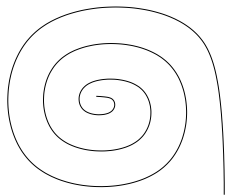


## Vórtice

cuando  $a = b$

$$\Psi = f(r) e^{i(n\phi - \omega t)}$$

$$\omega = a = b$$



## Espirales

cuando  $a \neq b$

$$\Psi = f(r) e^{i(n\phi + \varphi(r) - \omega t)}$$

$$\lim_{r \rightarrow \infty} \varphi'(r) = \pm k(\omega)$$

# Ondas espirales y vórtices

Son ondas de rotación con grado no nulo  $n$ :

$$\Psi = f(r) e^{i(\chi(r,\phi) - \omega t)}$$

forma de la solución

$$\chi = n\phi + \varphi(r)$$

fase de la solución

$$\oint_{\partial\Omega} \nabla\chi \cdot dl = 2\pi n \quad n \in \mathbb{Z}$$

condición sobre el grado

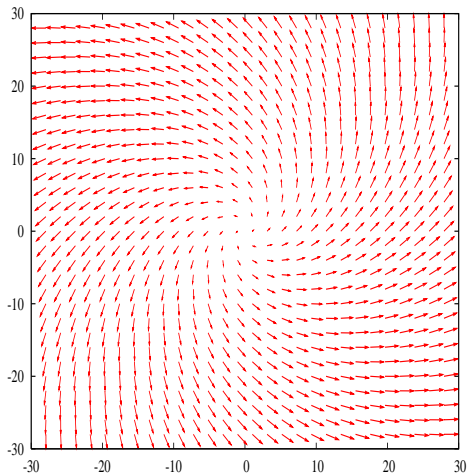
$$\lim_{r \rightarrow \infty} \nabla\chi = k \mathbf{e}_r$$

$k$  número de ondas asintótico

**Observación:** la frecuencia,  $\omega$ , y el número de ondas asintótico,  $k$ , quedan **determinados de forma única** por  $a$  y  $b$ .

# Ondas espirales y vórtices

Soluciones en forma de onda espiral:  $f(r)(\cos(n\phi + \varphi(r)), \sin(n\phi + \varphi(r)))$





# Vórtices

Caso particular en el que  $a = b = \omega$

Soluciones de tipo vórtice:  $\partial_t \Psi = (1 + ia)\Delta \Psi + \Psi - (1 + ia)|\Psi|^2 \Psi$

$$\chi(r, \phi) = n\phi, \quad \Psi = f(r) e^{i(n\phi - at)}$$

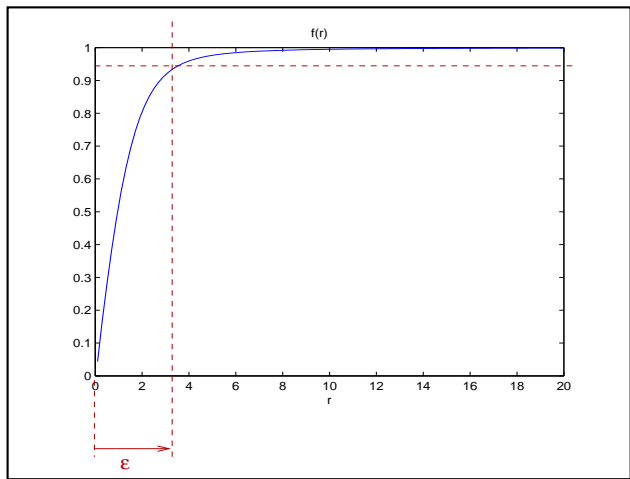
$$f_{rr} + \frac{f_r}{r} - f \frac{n^2}{r^2} + (1 - f^2)f = 0$$

$$f(0) = 0 \quad \lim_{r \rightarrow \infty} f(r) = 1$$

Existe una única solución con estas condiciones. El número de ondas correspondiente,  $k$ , es nulo.

# Vórtices

Módulo de la solución,  $f(r)$ , escala del problema:



## Soluciones de equilibrio con simetría

### SOLUCIONES CON UNA SOLA ESPIRAL:

Con el cambio  $\Psi = \psi e^{-i\omega t}$ , y reorganizando los parámetros,

$$(1 - ib) \frac{\partial \psi}{\partial t} = (1 - |\psi|^2) \psi + iq\psi(1 - k^2 - |\psi|^2) + \Delta \psi,$$

$$q = \frac{a - b}{1 + ab} \quad q(1 - k^2) = \frac{\omega - b}{1 + b\omega}$$

- Para simplificar los cálculos tomamos  $b = 0$ .
- Las soluciones en onda espiral, de la forma  $\Psi = f(r)e^{i(n\phi + \varphi(r))}$ , son soluciones de equilibrio de este problema. En realidad es un sistema de ecuaciones diferenciales ordinarias.

## Soluciones de equilibrio con cierta simetría radial

- Con métodos asintóticos se demuestra ([1]) que el número de ondas asintótico  $k$  depende de forma unívoca de  $q$ . Concretamente, para valores pequeños de  $q$

$$k(q) = \frac{2}{q} e^{c_n - \gamma - \frac{\pi}{2q|n|}} (1 + o(1)),$$

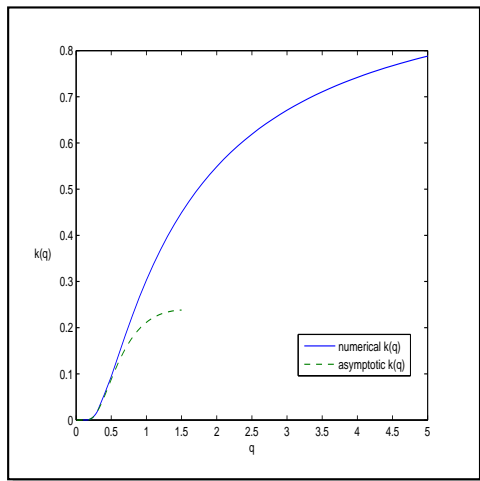
donde  $c_n$  es una constante independiente de  $q$  y  $\gamma$  es la gamma de Euler.

- Además, la solución satisface  $f(r) \sim Cr^n$  y  $\chi_r(0) = 0$  cuando  $r \rightarrow 0$  y  $f(r), \chi_r(r)$  acotadas cuando  $r \rightarrow \infty$ ,

$$f \sim (1 - k^2)^{1/2} + \mathcal{O}(1/r) \quad \chi_r \sim -k - \frac{1}{2qr} + \mathcal{O}(1/r^2)$$

[1] P.S. Hagan. *Spiral waves in reaction-diffusion equations*. SIAM J. Appl. Math., 42, 1982.

# Número de ondas asintótico en función de $q$ .



# Ecuaciones del movimiento para los centros de las espirales: reducción de la EDP a un sistema de EDOs.

- Consideramos espirales con distancias de separación grandes,  $1/\epsilon$ , y con  $n = \pm 1$ .
- Hipótesis:
  - ① Suponemos que las espirales se mueven despacio y que su movimiento define la dinámica del patrón (son estructuralmente estables).
  - ② Calculamos la solución "outer" lejos de los centros de las espirales y el desarrollo "inner" cerca de cada uno de ellos.
  - ③ Linealizando en la zona "inner" encontraremos una condición de compatibilidad que determina la velocidad de los vórtices.

# Ecuaciones del movimiento para los centros de las espirales: reducción de la EDP a un sistema de EDOs.

- Consideramos espirales con distancias de separación grandes,  $1/\epsilon$ , y con  $n = \pm 1$ .
- Hipótesis:
  1. Suponemos que las espirales se mueven despacio y que su movimiento define la dinámica del patrón (son estructuralmente estables).
  2. Calculamos la solución “outer” lejos de los centros de las espirales y el desarrollo “inner” cerca de cada uno de ellos.
  3. Linealizando en la zona “inner” encontraremos una condición de compatibilidad que determina la velocidad de los vórtices.

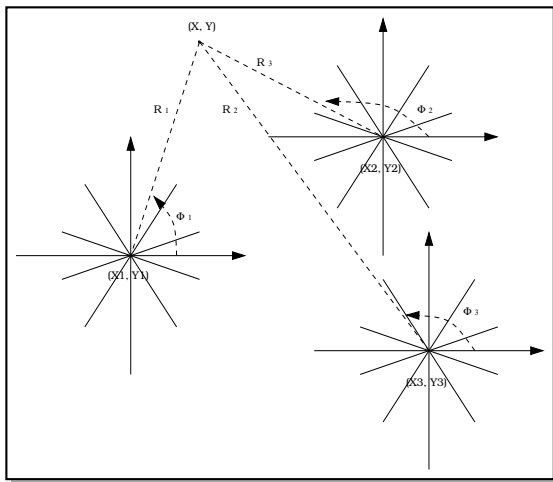
# Ecuaciones del movimiento para los centros de las espirales: reducción de la EDP a un sistema de EDOs.

- Consideramos espirales con distancias de separación grandes,  $1/\epsilon$ , y con  $n = \pm 1$ .
- Hipótesis:
  - 1 Suponemos que las espirales se mueven **despacio** y que su movimiento define la dinámica del patrón (son estructuralmente estables).
  - 2 Calculamos la **solución “outer”** lejos de los centros de las espirales y el **desarrollo “inner”** cerca de cada uno de ellos.
  - 3 Linealizando en la zona “inner” encontraremos una **condición de compatibilidad** que determina la velocidad de los vórtices.



# Interacción de las espirales

## Notación



# Interacción de espirales

## Separación canónica

### CASO GENERAL $q \neq 0$ PERO PEQUEÑO:

Con  $\mathbf{X} = \epsilon \mathbf{x}$  y  $T = \mu \epsilon^2 t$  y definiendo  $\alpha = kq/\epsilon$  la ecuación queda

$$\epsilon^2 \mu \psi_T = \epsilon^2 \Delta \psi + (1 + iq)(1 - |\psi|^2)\psi - \frac{i\epsilon^2 \alpha^2}{q} \psi$$

o alternativamente

$$\mu \epsilon^2 f_T = \epsilon^2 \Delta f - \epsilon^2 f |\nabla \chi|^2 + f(1 - f^2) \quad (1)$$

$$\mu \epsilon^2 f^2 \chi_T = \epsilon^2 \nabla \cdot (f^2 \nabla \chi) + q f^2 (1 - f^2) - \frac{i\epsilon^2 \alpha^2}{q} f^2 \quad (2)$$

Separación canónica: Suponemos que las espirales están separadas como  $1/\epsilon$  de modo que

$$\frac{1}{\epsilon} = \mathcal{O}(1/qk), \quad \text{o equivalentemente} \quad \alpha = \frac{qk}{\epsilon} = \mathcal{O}(1).$$

# Separación canónica

Zona “outer”

## Ecuaciones dominantes

Escribimos  $f = 1 + \epsilon^2 f_1$  y  $\chi = \bar{\chi}/q$  y obtenemos para la fase

$$\mu \bar{\chi}_T = \Delta \bar{\chi} + |\nabla \bar{\chi}|^2 - \alpha^2 + \mathcal{O}(\epsilon^2)$$

Con el cambio  $\bar{\chi} = \log h$  se convierte en lineal,  $h_T = \Delta h - \alpha^2 h$ . Escribiendo  $h = h_0 + \mu h_1$  hallamos, en todo  $\mathbb{R}^2$ ,

$$h = \sum_{j=1}^N \beta_j(T) K_0(\alpha R_j) + \mu h_1,$$

donde  $\beta_j$  son de momento arbitrarias y se obtienen de las condiciones de matching cerca de los centros de las espirales.

# Separación canónica

Zona “inner”

Cerca del vórtice  $\ell$ ,  $\mathbf{X} = \mathbf{X}_\ell(T) + \epsilon \mathbf{x}$ , y desarrollando en  $\epsilon$  como

$\widehat{\Psi} = \widehat{\Psi}_0 + \epsilon \widehat{\Psi}_1$  la ecuación dominante es

$$\mathcal{O}(\epsilon) = \Delta \widehat{\Psi}_0 + \widehat{\Psi}_0(1 - |\widehat{\Psi}_0|^2),$$

con  $\widehat{\Psi}_0 = \widehat{f}_0 e^{\widehat{\chi}_0}$

Linealización entorno a la solución dominante

$$-\mu \frac{d\mathbf{X}_\ell}{dT} \cdot \nabla \widehat{\psi}_0 = \Delta \widehat{\psi}_1 + (1 + iq)(\widehat{\psi}_1(1 - |\widehat{\psi}_0|^2) - \widehat{\psi}_0(\widehat{\psi}_0 \widehat{\psi}_1^* + \widehat{\psi}_0^* \widehat{\psi}_1))$$

con  $\widehat{\Psi}_1 = (\widehat{f}_1 + \widehat{f}_0 \widehat{\chi}_1) e^{\widehat{\chi}_0}$

Esta es una ecuación lineal no homogénea de la que deducimos una condición de compatibilidad.

# Separación canónica

## Matching asintótico

Escribiendo la solución “outer” en términos de las variables “inner”

$$\chi = \frac{1}{q} \log \left( \beta_{\ell 0} K_0(\alpha \epsilon r) + G(\mathbf{X}_\ell) + \epsilon \mathbf{x} \cdot \nabla G(\mathbf{X}_\ell) + \mathcal{O}(\epsilon^2) \right) + \frac{\mu}{q} \chi_1$$

donde  $G(\mathbf{X}) = \sum_{j \neq \ell}^N \beta_j(T) K_0(\alpha |\mathbf{X} - \mathbf{X}_j|)$ .

Haciendo lo mismo con la “inner”, escribiéndola en términos de las variables “outer”, y comparando ambas expresiones se obtiene:

$$q \log \epsilon = -\frac{\pi}{2}$$

$$\alpha = 2e^{c_1 - \gamma + G(\mathbf{X}_\ell)}.$$

Para dos espirales, cuando  $|\mathbf{X}_1 - \mathbf{X}_2|$  crece,  $\alpha$  (y por lo tanto  $k$ ) se convierte en el correspondiente a una única espiral.

# Separación canónica

## Ecuación del movimiento

De la condición de ortogonalidad sobre la linealización en la zona “inner” se llega a  $\mu = \mathcal{O}(q) = \mathcal{O}(1/|\log \epsilon|)$  y también:

## Ecuación del movimiento

$$\frac{d\mathbf{X}_\ell}{dT} = -\frac{2qn_\ell}{\beta_\ell\mu} \nabla G^\perp(\mathbf{X}_\ell)$$

donde

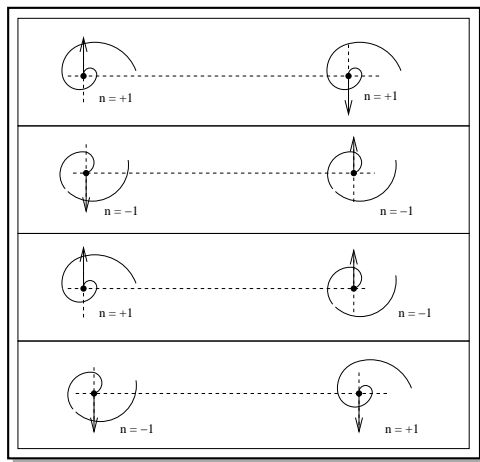
$$\nabla G^\perp(\mathbf{X}_\ell) = \sum_{j \neq \ell}^N \beta_j \alpha K'_0(\alpha |\mathbf{X}_\ell - \mathbf{X}_j|) \mathbf{e}_{\phi_{j\ell}} + \mathcal{O}(\mu)$$

Con 2 espirales en las posiciones  $(X_1, 0)$  y  $(X_2, 0)$  con  $X_1 < X_2$ ,

$$\frac{dX_1}{dT} \sim \left(0, -\frac{n_1\pi}{X_2 - X_1}\right) \quad \text{cuando} \quad X_2 - X_1 \ll 1$$

# Separación canónica

Dirección de la velocidad con dos espirales



# Ecuación del movimiento para $q = 0$

Ejemplo con dos vórtices

Dos vórtices situados en  $(X_1, 0)$  y  $(X_2, 0)$ , con  $X_1 < X_2$  ([2]):

$$\frac{dX_1}{dT} = \frac{n_2}{n_1} \left( \frac{2}{X_1 - X_2}, 0 \right) + \mathcal{O}(\mu)$$

- Cuando  $n_1 \cdot n_2 = 1 \Rightarrow$  se repelen.
- Cuando  $n_1 \cdot n_2 = -1 \Rightarrow$  se atraen.
- La interacción ocurre a lo largo de la línea que une los centros.

[2] J.C. Neu. *Vortices in complex scalar fields*. Phys. D, 43, 1990



# Separación media

## Ecuación del movimiento

Cuando  $\alpha$  es pequeño,

## Ecuación del movimiento

$$\frac{d\mathbf{X}_\ell}{dT} = \frac{2q \cos(qn_\ell |\log \epsilon|)}{\mu \sin(qn_\ell |\log \epsilon|)} \sum_{j \neq \ell}^N \left( n_j \frac{\mathbf{e}_{rj\ell}}{|X_\ell - X_j|} \right. \\ \left. + n_j \frac{\sin(qn_j |\log \epsilon|)}{\cos(qn_j |\log \epsilon|)} \frac{\mathbf{e}_{\phi j\ell}}{|X_\ell - X_j|} \right) + \mathcal{O}(\mu)$$

$q = \mathcal{O}(\mu)$  y  $q |\log \epsilon| < \pi/2$ , luego  $\mu = \mathcal{O}(1/|\log \epsilon|)$  y  $\alpha$  de hecho se convierte en exponencialmente pequeño.

# Separación media

## Ecuación del movimiento

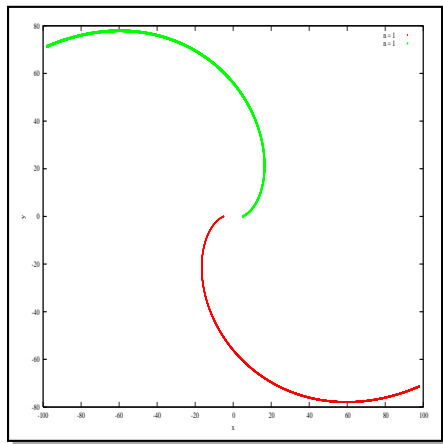
- Con 2 espirales en  $(X_1, 0)$  y  $(X_2, 0)$  con  $X_1 < X_2$  y  $n_1 = n_2 = \pm 1$ ,

$$\frac{d\mathbf{X}_1}{dT} = -2n_1 \frac{q}{\mu} \left( \frac{\cos(q|\log \epsilon|)}{\sin(q|\log \epsilon|)} \frac{n_2}{|X_2 - X_1|}, \frac{1}{|X_2 - X_1|} \right).$$

- Esta ecuación interpola entre el caso  $q \rightarrow 0$  y  $q|\log \epsilon| \rightarrow \pi/2$  (usando  $q \rightarrow 0$ ,  $\cos(q|\log \epsilon|) \sim 1$  y  $\sin(q|\log \epsilon|) \sim q|\log \epsilon|$ ).

# Separación media

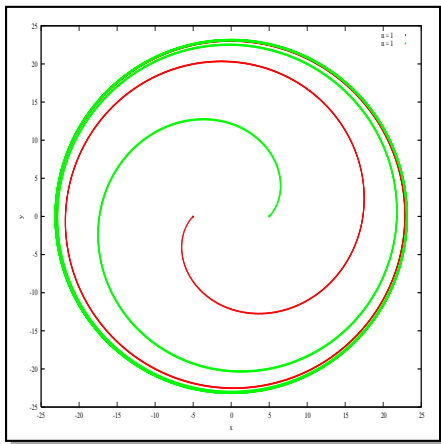
Dos espirales



Dos espirales con grado  $+1$  para  $q = 0,2$ .

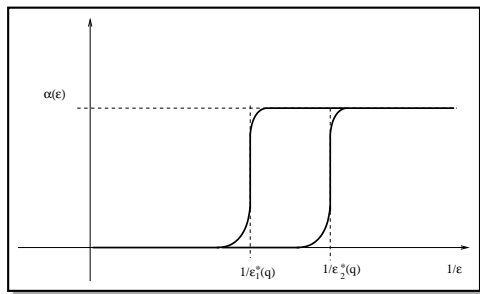
# Separación media

Dos espirales



Dos espirales con grado  $+1$  para  $q = 0,5$ .

# El parámetro $\alpha$ como función de $\epsilon$

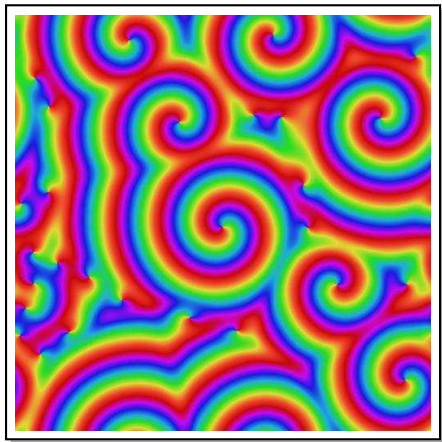


$\epsilon^*(q)$  es el valor crítico a partir del cual empieza la zona canónica y que se define como

$$\epsilon^*(q) = e^{-\pi/(2q)}.$$

Para valores mayores de  $q$  la distancia crítica  $1/\epsilon^*$  es menor.

# Cuando $q$ es de orden unidad



Simulación obtenida en [www - chaos.umd.edu/gallery/pattern.html](http://www-chaos.umd.edu/gallery/pattern.html)